

(225)

プラスチシン・モデルを用いたシミュレーションによる  
連鉄時のスラブ・バルジングについての研究

I R S I D メジェール・レ・メス市 J.Y. Lamant M. Larrecq  
Z. Smarzynski J.P. Birat

**1.緒言：**スラブ連鉄機において、鉄造時の静鉄圧によるバルジングは凝固シェルの変形を引き起こす主な要因のひとつである。バルジングによる内部欠陥（中心偏析、偏析を伴う内部割れ）は、時に成品のスクラップ化に至る。IRSID<sup>1)</sup>のバルジングについての粘塑性数学モデルの有効性を立証するため、プラスチシンによる実験を行い、バルジング・プロフィール及びバルジング量におよぼす鉄込みパラメータの影響を調べた。

**2.プラスチシン・モデル：**実験装置は(Fig. 1)，4本のロール及び引抜装置で構成される。スラブの凝固シェルは水圧H( $\text{mm}$ ,  $60 \leq H \leq 120$ )によって負荷を受けるプラスチシンの板(厚さ  $h \text{ mm}$ ,  $10 \leq h \leq 25$ )によって模擬した。  
プラスチシン・モデルと実機との間の相似条件は、次の通りである。歪  $\varepsilon$  及び歪速度  $\dot{\varepsilon}$  の相似比を1と決めた。応力  $\sigma$  の相似比は降伏応力の相似比に等しくした。また、プラスチシン・モデルは幾向学的なスケールを  $1/5$ とした。このモデルでは、2つの状態つまり鉄込み停止状態(静的試験)及び定常鉄込み状態(動的試験)を調べた。

**3.プラスチシンの変形挙動：**バルジングについては、数学モデルを用いるために、プラスチシンの粘塑性挙動をまず明らかにしなければならない。マルチ緩和試験( $\varepsilon_{vp}$ :粘塑性歪(無次元) $10^{-3} \leq \varepsilon_{vp} \leq 4 \times 10^{-2}$ ,  $\dot{\varepsilon}_{vp}$ :粘塑性歪速度( $\text{s}^{-1}$ ) $10^{-5} \leq \dot{\varepsilon}_{vp} \leq 10^{-2}$ ,  $T$ :板温度( $\text{K}$ ) $293 \leq T \leq 323$ ,  $\sigma(\text{kg/mm}^2)$ )から次の式を得た。 $\sigma = 1.12 \cdot 10^{-7} \cdot \exp(4066/T) \varepsilon_{vp}^{0.281} \dot{\varepsilon}_{vp}^{0.107}$  ... (1)

(1)式は、室温での千々岩らの測定とほぼ一致する。

**4.実験結果：**静的試験の場合、支持ロールの間でのバルジングのプロフィールは対称である。しかし、動的試験の場合は、Fig.2に1例を示すように、最大バルジング位置はロール間隔の中央から下流側に生ずる。凝固シェルは、ロールとの接触直後にスラブの中心方向へわずかに向い、その後実際のバルジングが生じている。動的試験の場合、バルジング量  $\delta$  ( $\text{mm}$ )に関して次の実験式を得た(Fig.3)。

$$\delta = 2.27 \cdot 10^{-4} \cdot \exp(0.0617T) l^{6.8} \cdot H^{2.1} / (v^{0.23} \cdot h^{2.88}) \quad \dots (2)$$

ここで、 $l$  はロール間隔( $\text{mm}$ )、 $v$  は引抜速度( $\text{mm/s}$ )である。

$l$  と  $H$  と  $v$  の指数に関しては、実験値と計算はよく一致するが、 $h$  の指数は余りよい一致をみていない。

**5.結論：**バルジング量におよぼすロール間隔と静圧及び鉄込速度の定量的な影響を明らかにした。さらに、バルジング・プロフィールを詳しく記述することができた。この研究結果は実機鉄片の場合にも十分適用できる。このプラスチシン・モデルでは、ロール・ミスアライメントと偏心を現在研究中である。

- 参考文献：**
- 1) J.P. Birat, M. Larrecq, Z. Smarzynski, J.D. Weber: Journees D'automne De La S.F.M. Octobre 1980
  - 2) 藤井ら: 鉄と鋼 67 (1981) p 1172, 3) 千々岩ら: Trans. ISIJ 21 (1981) p 178

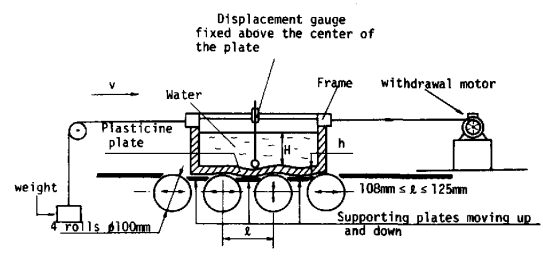


Figure 1 : Sketch of the plasticine model

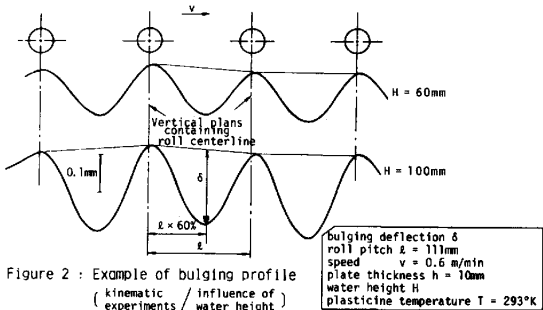


Figure 2 : Example of bulging profile (kinematic / influence of experiments / water height)

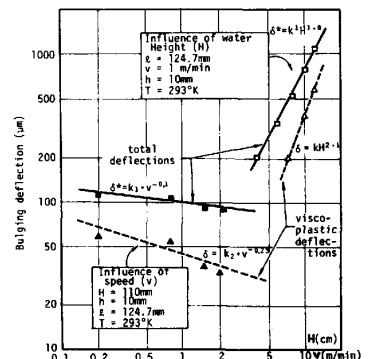


Figure 3 : Influence of water height and speed on total and visco-plastic bulging deflection (kinematic experiments)